

## 4.2 Komplexe Ginzburg-Landau-Gleichung (continued)

$$\frac{\partial}{\partial t} W(x, t) = W(x, t) - (1+iC_2) |W(x, t)|^2 W(x, t) + (1+iC_1) \frac{\partial^2}{\partial x^2} W(x, t)$$

$W \in \mathbb{C}$  mit zeitlicher und räumlicher Abhängigkeit

Lösungsansatz (ebene Wellen)  $W_Q(x, t) = \alpha_Q \exp[i(\omega_Q t + Qx)]$   
mit Wellenzahl  $Q$

$$\Rightarrow |\alpha_Q|^2 = 1 - Q^2 \quad \text{und} \quad \omega_Q = -C_2 + (C_2 - C_1) Q^2$$

spezieller Fall: uniforme/homogene Oszillationen ( $Q=0$ ):  $|\alpha_Q|=1$ ,  $\omega_0 = -C_2$

Instabilität für  $1+C_1 C_2 < 0$  Beugung-Fréz-Gleichung

Bereich von stabilen Moden:  $0 < |Q| < \sqrt{\frac{2(1+C_2)}{1+C_1^2}}$

Reelle Ginzburg-Landau-Gleichg.:  $\frac{\partial W}{\partial t} = \frac{\partial^2 W}{\partial x^2} + W - |W|^2 W$   
( $C_1 = 0 = C_2$ )

Spiegelsgesetze:  $W(x, t) = W(-x, t)$

$$\frac{\partial}{\partial x} \mapsto \frac{\partial}{\partial(-x)} = -\frac{\partial}{\partial x}, \quad \frac{\partial^2}{\partial x^2} \mapsto \frac{\partial^2}{\partial x^2}$$

Oder auch  $W(x, t) \mapsto W(x, t) e^{i\phi}$

$$\frac{\partial W}{\partial t} e^{i\phi} = \frac{\partial^2 W}{\partial x^2} e^{i\phi} + W e^{i\phi} - |W|^2 e^{i\phi} W \text{ wird}$$

Schaffende Lösung:  $W(x, t) = \alpha_0 e^{iQx} \quad \text{mit} \quad Q^2 = 1 - |\alpha_0|^2$

$$\overrightarrow{W_0 = -C_2 + (C_2 - C_1) Q^2}$$

Einsetzen liefert:  $\frac{\partial W}{\partial t} = 0 = \underbrace{-Q^2 W}_{\frac{\partial^2 W}{\partial x^2}} + W - |\alpha_0|^2 W = 0$

Benjamin-Feir - Instabilität:  $1 + C_1 C_2 < 0$

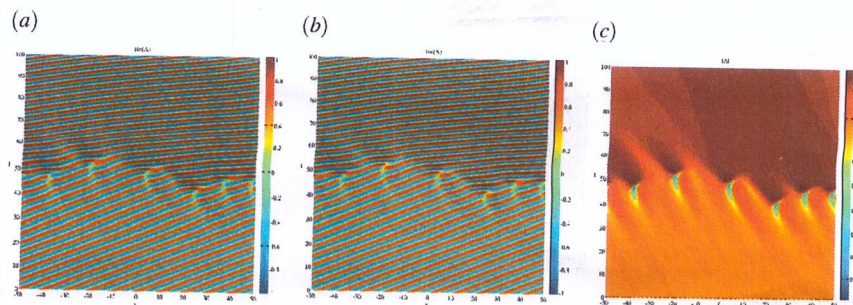


Fig. 5.2 Space-time plots of (a)  $\text{Re}(A)$ , (b)  $\text{Im}(A)$  and (c)  $|A|$  in the case of the Benjamin-Feir instability.

Bei "falscher" Wellenzahl ( $Q$  zu groß) ist das Modusverhältnis und das System geht in eine ebene Welle mit kleinerem  $Q$  (größere Wellenlänge) über. Das übergeht kontinuierlich zu **Defekten** (Phasenstrukturlosen) mit  $|W| = 0$

Fall:  $1 + C_1 C_2 \leq 0$  Schwellen des instabil.:  $|W| \approx 1$

$$\text{Phasorvariable: } \tan \phi = \frac{\text{Im } W}{\text{Re } W}$$

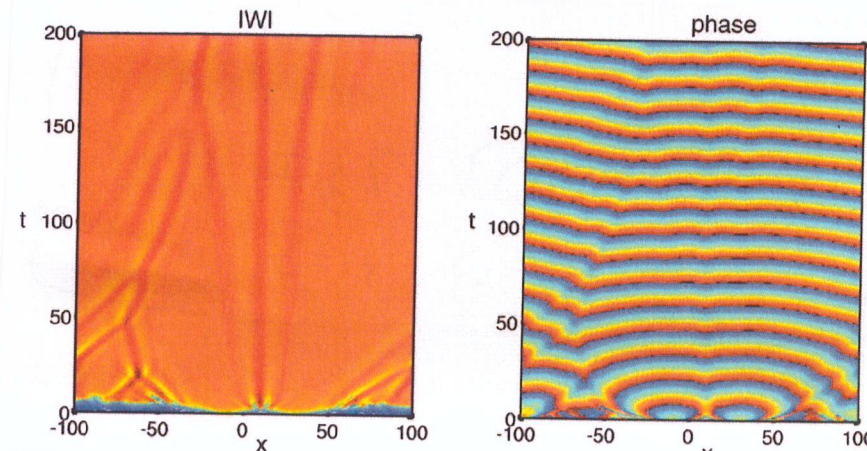
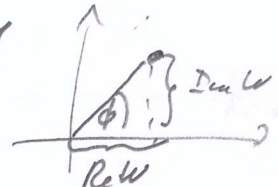


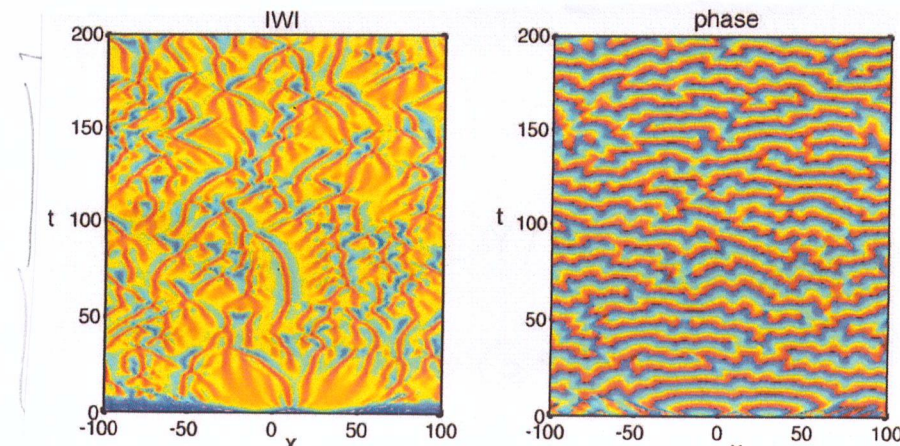
Fig 5

$$C_1 = -4$$

$$C_2 = 0.5$$

V. García-Morales  
U. Kiel  
Computational Physics  
§ 1, FG (2012)

**Defekt:**  $\lim_{x \rightarrow x_0^*} \frac{\text{Im } W(x, t)}{\text{Re } W(x, t)}$   $\neq \lim_{x \rightarrow x_0^-} \frac{\text{Im } W(x, t)}{\text{Re } W(x, t)}$



$C_1 = -4$   
 $C_2 = 1$   
Fig 6

Räuml. zeitliches Chaos:  $c_1 = 0$ ,  $c_2 = -3$

49

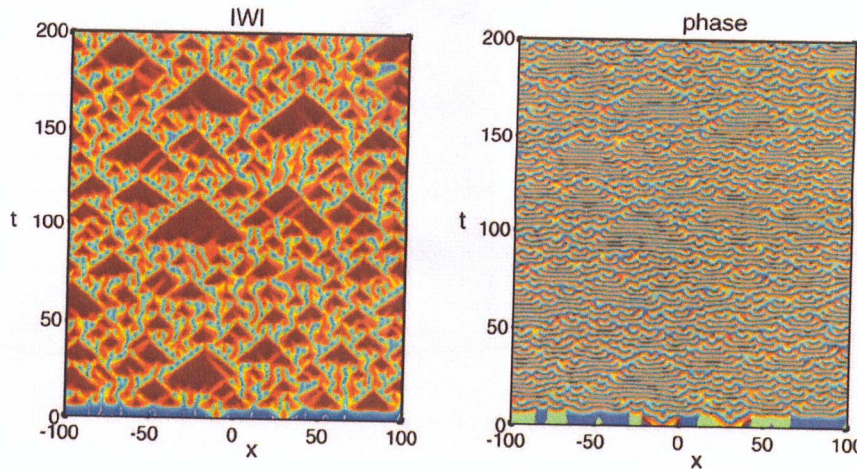


Figure 7. Spatiotemporal evolution of the absolute value  $|W|$  of the complex amplitude (left) and phase (right) in a situation of spatiotemporal chaos:  $c_1 = 0$ ,  $c_2 = -3$ .

Was passiert bei 2D?  $w(x, y, t)$ :

$$\frac{\partial}{\partial t} w = w - (1+i c_2) |w|^2 w + (1+i c_2) \left( \frac{\partial^2 w}{\partial x^2} + \frac{\partial^2 w}{\partial y^2} \right)$$

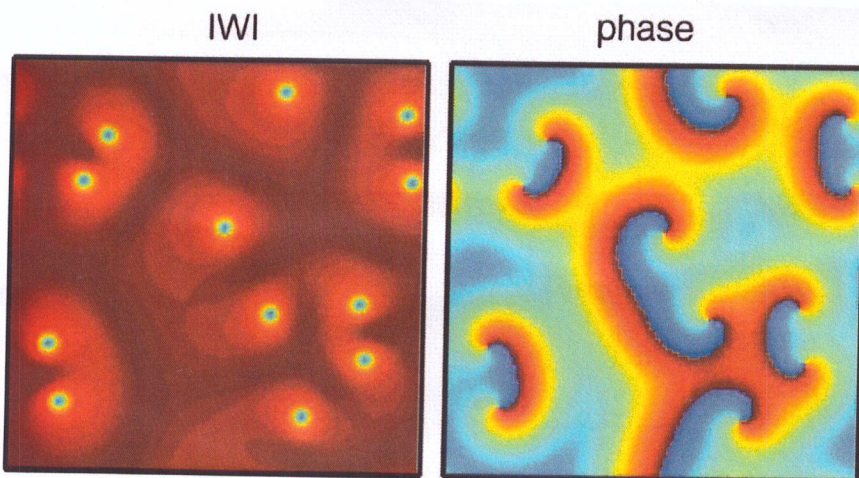


Figure 8. Spatial distribution of the absolute value  $|W|$  of the complex amplitude (left) and phase (right) obtained after a transient from the 2D CGLE on a rectangular domain of  $76 \times 76$  size in a situation of spatiotemporal chaos:  $c_1 = 0$ ,  $c_2 = 1$ .

Defekte als Zentren von Spatialisierungen in der Phase.

$$\Rightarrow \text{topologische Ladung} \quad u_{\text{top}} = \frac{1}{2\pi} \oint \nabla \phi \cdot d\vec{s}$$

$\uparrow$   
 Contour Integral  
 (geschlossene Kurve)

$\Rightarrow$  Axialen Kreis Scannet Phase  $2\pi$  auf.

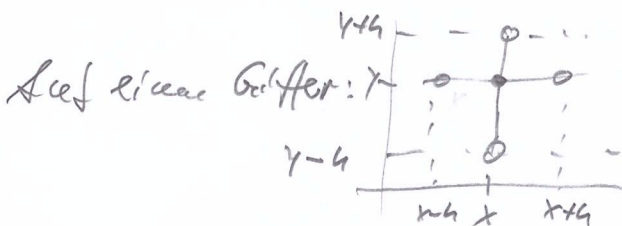
$$\left( \frac{\partial^2}{\partial x^2} + \frac{\partial^2}{\partial y^2} \right) W(x, y, t) = \Delta W(x, y, t)$$

mit Laplace-Operator  $\Delta$

siehe Wellengleichung:  $\frac{\partial^2 u}{\partial t^2} = c^2 \left( \frac{\partial^2}{\partial x^2} + \frac{\partial^2}{\partial y^2} \right) u$   
 $\ddot{u} = c^2 \Delta u$

$$\Delta u = \operatorname{div} \operatorname{grad} u = \operatorname{div} \begin{pmatrix} \frac{\partial u}{\partial x} \\ \frac{\partial u}{\partial y} \end{pmatrix} = \begin{pmatrix} \frac{\partial}{\partial x} & \frac{\partial}{\partial y} \end{pmatrix} \begin{pmatrix} \frac{\partial u}{\partial x} \\ \frac{\partial u}{\partial y} \end{pmatrix} = \frac{\partial^2 u}{\partial x^2} + \frac{\partial^2 u}{\partial y^2}$$

Des Kreftaschen:  $u_h(x, y) = \lim_{h \rightarrow 0} \frac{1}{h^2} \int_{x-h}^{x+h} \int_{y-h}^{y+h} u(x-h, y) + u(x+h, y) + u(x, y-h) + u(x, y+h) - 4u(x, y)$



Differenzenquotient koppelt benachbarte Gitterpunkte

benachbarte Gitterpunkte

$\Rightarrow$  Verallgemeinern: allgemeine Koppelformel:

$$\frac{\partial u}{\partial t} = u - (1 + iC_2) / h^2 u + (1 + iC_1) \int H(|x-x'|) [W(x') - W(x)] dx'$$

(i)  $H(|x-x'|) = \delta^{(2)}(x-x')$  direkt kompliziert - Coulomb - Elektrizität

$$\int \delta^{(n)}(x-x') f(x') dx' = (-1)^n \frac{d^n f(x)}{dx^n} \Rightarrow \int \delta^2(x-x') f(x') dx' = \frac{d^2 f(x)}{dx^2}$$

(ii)  $H(|x-x'|) = \frac{K}{2\pi D^2} \exp\left[-\frac{|x-x'|}{D}\right]$